

Київський національний університет імені Тараса Шевченка

Факультет комп'ютерних наук та кібернетики

Кафедра інтелектуальних програмних систем

Моделювання складних систем

Звіт

з лабораторної роботи №1

студента 3-го курсу

групи ІПС-31

Іванченка Владислава Віталійовича

Варіант №13

Київ

2025

Постановка задачі

Нехай є дискретна функція $\hat{y}(t_i)$, $i=1,2,\dots,N$, що подана у вигляді значень у i -й момент часу.

Потрібно визначити модель в класі функцій

$y(t)=a_1 t^3 + a_2 t^2 + a_3 t + \sum_{i=4}^k a_i \sin(2\pi f_{i-3} t) + a_{k+1}$

для спостережуваної дискретної функції $\tilde{y}(t_i)$, $i=1,2,\dots,N$, (відповідний файл f13.txt), $t_{i+1}-t_i=\Delta t=0.01$, інтервал спостереження $[0, T]$, $T=5$.

Дискретне

перетворення

$x(i)$, $i=0,1,2,\dots,N-1$

Фур'є для дискретної послідовності

$c_x(k)=\frac{1}{N} \sum_{m=0}^{N-1} x(m) e^{-i 2 \pi i m / N}$

Далі потрібно визначити за модулем дискретного перетворення Фур'є (далі модуль ДПФ) частоти із найбільшим вкладом.

Для цього визначаємо момент, у який модуль ДПФ приймає найбільше значення, тобто є локальним екстремумом. Позначимо такі моменти через k^* . Щоб знайти саме частоти із найбільшим вкладом, які позначимо через f^* потрібно виконати множення $f^*=k^* f=k^* / T$.

Знайшовши частоти із найбільшим вкладом, можна приступати до безпосереднього визначення невідомих параметрів a , $i=k+1$. Для їх

визначення застосовуємо метод найменших квадратів. Для цього записуємо функціонал похибки:

$F(a_1, a_2, \dots, a_{k+1}) = \frac{1}{2} \sum_{j=0}^{N-1} (a_1 t_j^3 + a_2 t_j^2 + a_3 t_j + \sum_{i=4}^k a_i \sin(2\pi f_{i-3} t_j) + a_{k+1} - \hat{y}(t_j))^2$

Параметри a , $i=1,2,\dots,k+1$ шукаємо з умови:

$F(a_1, a_2, \dots, a_{k+1}) \rightarrow \min_{a_1, a_2, \dots, a_{k+1}}$

Для цього записуємо систему рівнянь:

$\frac{\partial F(a_1, a_2, \dots, a_{k+1})}{\partial a_j} = 0$

Ця система є системою лінійних алгебраїчних рівнянь. Розв'язавши цю систему одним з відомих методів, знаходимо a , $i=1,2,\dots,k+1$.

Хід роботи

Програмна реалізація виконана мовою MATLAB.

Метою даної лабораторної роботи є побудова математичної моделі для апроксимації спостережуваної дискретної функції.

Модель шукається у класі функцій, що є сумою полінома третього ступеня та синусоїдальних компонент.

Для визначення частот синусоїд використовується дискретне перетворення Фур'є (ДПФ), а для знаходження невідомих коефіцієнтів моделі метод найменших квадратів (МНК).

1. Завантаження та візуалізація вихідних даних

На першому етапі було ініціалізовано початкові параметри: крок дискретизації $dt=0.01$, інтервал спостереження $T=5$ секунд та відповідний вектор часу t .

```
%% 1. ІНІЦІАЛІЗАЦІЯ ПАРАМЕТРІВ
clear all;
clc;
close all;

% Крок дискретизації та інтервал спостереження
dt = 0.01;           % Крок дискретизації
T = 5;               % Інтервал спостереження
t = 0:dt:T;          % Масив часових точок
N = length(t);       % Кількість точок
```

Далі з файлу **f13.txt** було завантажено масив спостережуваних значень $y(t)$.

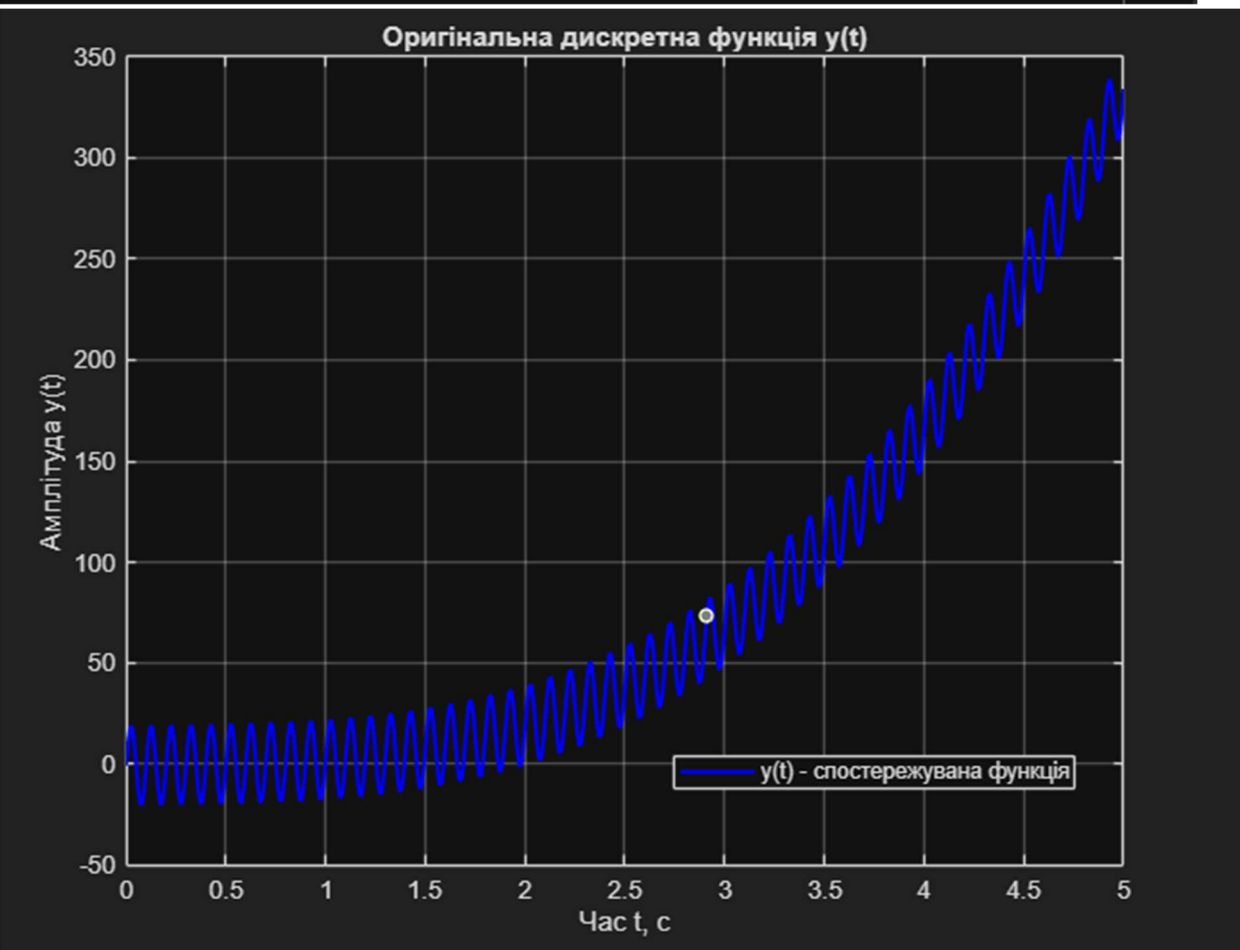
```
%% 2. ЗАВАНТАЖЕННЯ ЕКСПЕРИМЕНТАЛЬНИХ ДАНИХ
|
y = dlmread('f13.txt', '');
```

Для візуального аналізу поведінки сигналу було побудовано графік вихідної функції.

```

%% 3. ВІЗУАЛІЗАЦІЯ ОРИГІНАЛЬНОЇ ФУНКЦІЇ
figure;
plot(t, y, 'b', 'LineWidth', 1.5, 'DisplayName', 'y(t) - спостережувана функція'
grid on;
title('Оригінальна дискретна функція y(t)');
xlabel('Час t, с');
ylabel('Амплітуда y(t)');
legend('Location', 'best');

```



Маємо поліноміальну функцію із частотними вкладеннями у вигляді коливань.

2. Частотний аналіз сигналу

Для ідентифікації основних гармонійних складових сигналу було застосовано дискретне перетворення Фур'є.

З метою перевірки коректності обчислень, ДПФ було виконано двома способами:

1. За допомогою вбудованої функції MATLAB `fft`.
2. Шляхом програмної реалізації алгоритму ДПФ вручну.

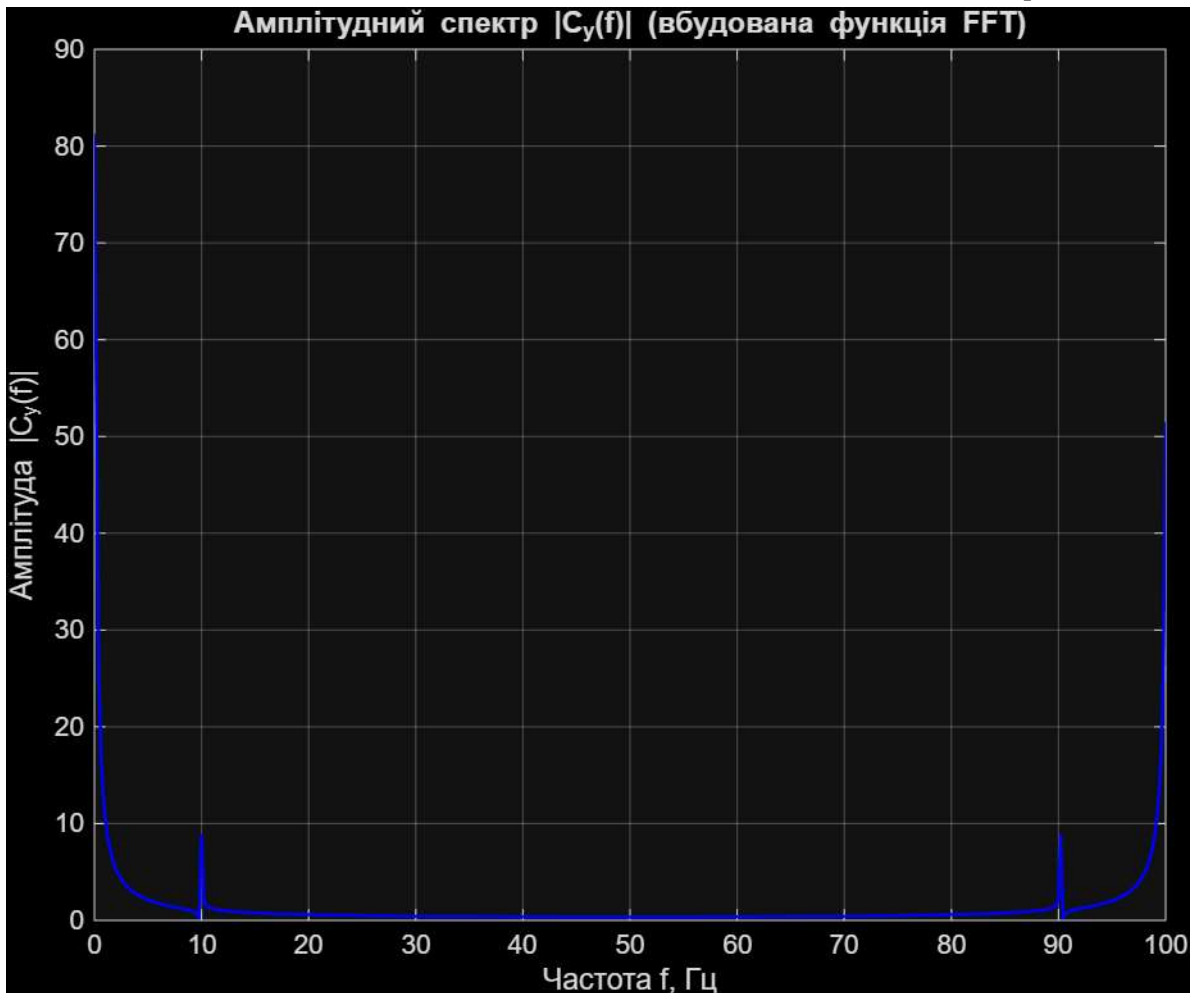
```

%% 4. ДИСКРЕТНЕ ПЕРЕТВОРЕННЯ ФУР'Є (вбудована функція)
fft_y_raw = fft(y); % БЕЗ нормалізації (для пошуку піків)
fft_y = fft_y_raw / N; % З нормалізацією (для відображення)

% Побудова амплітудного спектру (FFT)
figure;
freq_axis = (0:N-1) / T; % Частотна вісь в Гц
plot(freq_axis, abs(fft_y), 'b', 'LineWidth', 1.2);
grid on;
title('Амплітудний спектр |C_y(f)| (вбудована функція FFT)');
xlabel('Частота f, Гц');
ylabel('Амплітуда |C_y(f)|');

```

[СЮДИ

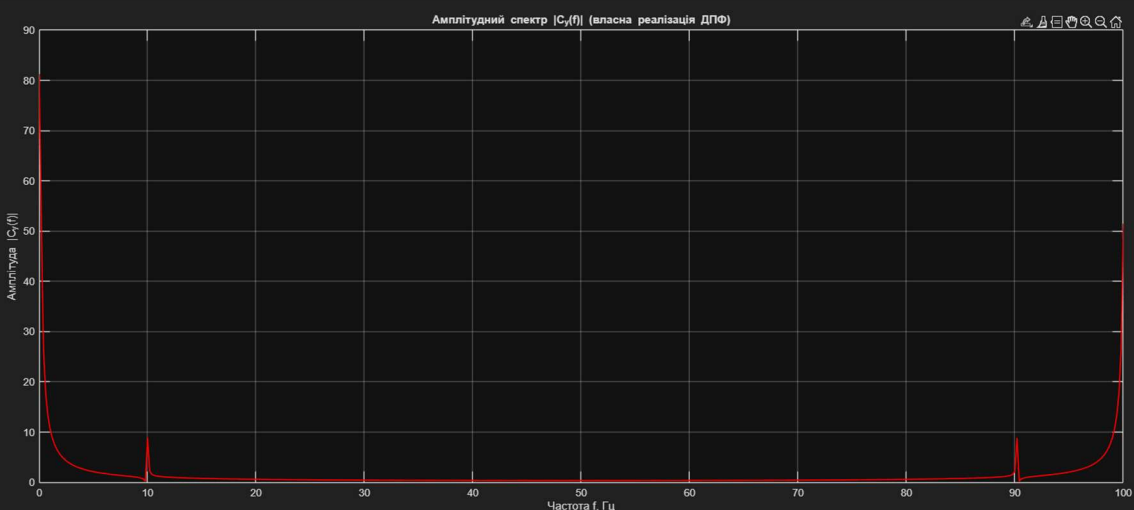


```

%% 5. ВЛАСНА РЕАЛІЗАЦІЯ ДИСКРЕТНОГО ПЕРЕТВОРЕННЯ ФУР'Є
% (для перевірки коректності)
fft_manual = zeros(1, N);
for k = 1:N
    for m = 1:N
        fft_manual(k) = fft_manual(k) + y(m) * exp(-1i * 2 * pi * (k-1) * (m-1) / N);
    end
end
fft_manual = fft_manual / N; % НОРМАЛІЗАЦІЯ результату

% Побудова амплітудного спектру (власна реалізація)
figure;
plot(freq_axis, abs(fft_manual), 'r', 'LineWidth', 1.2);
grid on;
title('Амплітудний спектр |C_y(f)| (власна реалізація ДПФ)');
xlabel('Частота f, Гц');
ylabel('Амплітуда |C_y(f)|');

```



Графіки амплітудних спектрів, отримані обома методами, виявились ідентичними, що підтвердило правильність реалізації.

3. Визначення значущих частот

Оскільки спектр ДПФ є симетричним, для подальшого аналізу

використовувалась лише його перша половина. На цьому спектрі за допомогою функції `findpeaks` було здійснено пошук локальних максимумів ("піків"), які відповідають частотам, що роблять найбільший внесок у вихідний сигнал.

Індекси знайдених піків були перераховані у фізичні частоти (в Гц) для подальшого використання в моделі.

```

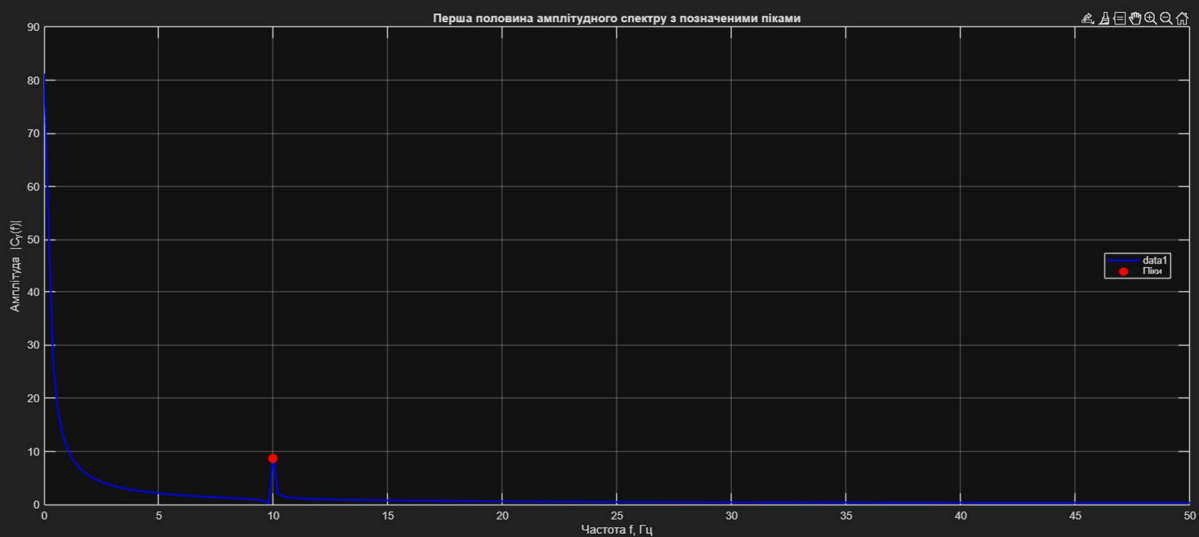
%% 6. АНАЛІЗ ЧАСТОТНОГО СПЕКТРУ
% Визначення частотних компонент
df = 1 / T; % Частотне розділення
f = 0:df:(N-1)*df; % Частотна вісь

% Беремо тільки першу половину спектру (оскільки він симетричний)
fft_half_raw = abs(fft_y_raw(1:round(N/2))); % Перша половина БЕЗ нормалізації
fft_half_norm = abs(fft_y(1:round(N/2))); % Перша половина З нормалізацією

% Пошук піків (екстремумів) у спектрі
% 'MinPeakHeight' - фільтр, щоб відсіяти малий шум. Можливо, доведеться змінити це значення.
[maxima, locs] = findpeaks(fft_half_raw, 'MinPeakHeight', 10);

% Виведення спектру з позначеними піками (показуємо нормалізований)
figure;
plot(f(1:round(N/2)), fft_half_norm, 'b', 'LineWidth', 1.5);
grid on;
hold on;
% Для графіку використовуємо нормалізовані значення
plot(f(locs), maxima/N, 'ro', 'MarkerSize', 8, 'MarkerFaceColor', 'r', 'DisplayName', 'Піки');
hold off;
title('Перша половина амплітудного спектру з позначеними піками');
xlabel('Частота f, Гц');
ylabel('Амплітуда |C_y(f)|');
legend('Location', 'best');

```



На графіку видно значущі локальні максимуми («піки»), що відповідають основним гармонійним коливанням.

```

ЗНАЙДЕНІ ДОМІНУЮЧІ ЧАСТОТИ
=====
Кількість піків: 1
Пік 1: f = 10.00 Гц, амплітуда = 8.7385
=====
```

4. Побудова моделі методом найменших квадратів

Для знаходження невідомих коефіцієнтів апроксимуючої функції було застосовано метод найменших квадратів. Модель шукалася у вигляді:

$$y(t) = a_1 t^3 + a_2 t^2 + a_3 t + \sum_{i=4}^k a_i \sin(2\pi f_{i-3} t) + a_{k+1}$$

Для цього було сформовано матрицю системи A, стовпцями якої є вектори базових функцій ($t^3, t^2, t, \sin(2\pi f_{j-3}t), 1$), та вектор спостережень у.

Система лінійних алгебраїчних рівнянь (СЛАР) A а у була розв'язана відносно вектора коефіцієнтів а за допомогою оператора \ в MATLAB.

```
%% 7. ФОРМУВАННЯ СИСТЕМИ ДЛЯ МЕТОДУ НАЙМЕНШИХ КВАДРАТИВ
% Побудова матриці синусоїdalьних компонентів на знайдених частотах
sinf_components = zeros(length(locs), N);
for i = 1:length(locs)
    sinf_components(i, :) = sin(2 * pi * f(locs(i)) * t);
end

% Формування матриці системи A = [t^3, t^2, t, sin(2πf₁t), ..., sin(2πfₙt), 1]
A = [t.^3; t.^2; t; sinf_components; ones(1, N)]';

% Розв'язання системи A*coeff = у методом найменших квадратів
coeff = A \ y';
```

```
APROKSIMUJUCHA FUNKCIA
=====
y(t) = 3.0000*t^3 + -2.0000*t^2 + 2.0000*t + 20.0000*sin(2pi*10.00*t) + -1.0000
=====

ZNAIDENI KOEFICIENTI
=====
a1 (коef. при t^3):      +3.000000
a2 (коef. при t^2):      -2.000000
a3 (коef. при t):        +2.000001
a4 (коef. при sin(2pi*10.00*t)): +20.000003
a5 (вільний член):      -1.000000
=====
```

5. Аналіз результатів апроксимації

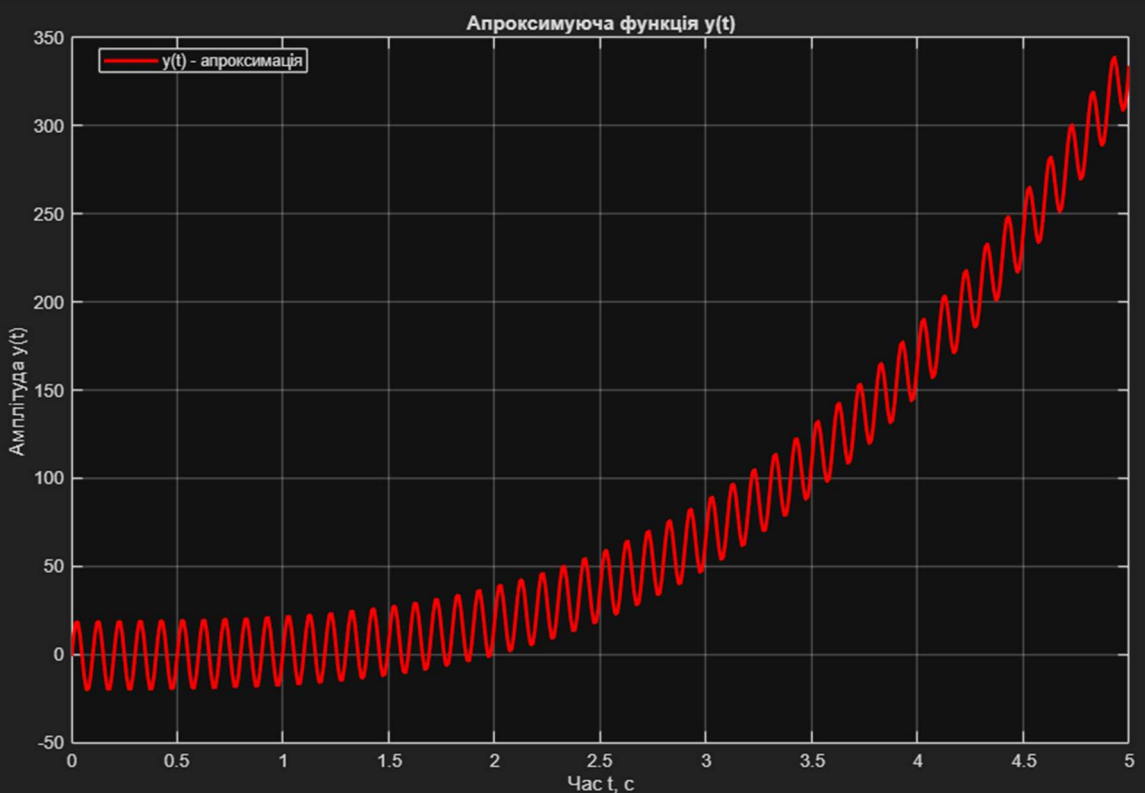
Знайдені коефіцієнти а були підставлені у рівняння моделі для побудови апроксимуючої функції $y^{\wedge}\{wedge\}(t)$. Також знаходимо квадратичну похибку функції:

```

%% 9. ВІВЕДЕННЯ АПРОКСИМУЮЧОЇ ФУНКЦІЇ
% Виведення апроксимуючої функції у символному вигляді
fprintf('=====\\n');
fprintf('АПРОКСИМУЮЧА ФУНКЦІЯ\\n');
fprintf('=====\\n');
fprintf('y(t) = %.4f*t^3 + %.4f*t^2 + %.4f*t', coeff(1), coeff(2), coeff(3));
for i = 4:length(coeff)-1
    fprintf(' + %.4f*sin(2pi%.2f*t)', coeff(i), f(locs(i-3)));
end
fprintf(' + %.4f\\n', coeff(end));
fprintf('=====\\n\\n');

% ===> КІНЕЦЬ БЛОКУ <===

```



```

%% 11. ОЦІНКА ЯКОСТІ АПРОКСИМАЦІЇ
% Квадратична похибка
error_squared = sum((y_model' - y).^2);
% Середньоквадратична похибка (MSE)
mse = error_squared / N;
% Відносна похибка
relative_error = sqrt(error_squared / sum(y.^2)) * 100;

% ===> СКОПІЮЙТЕ ЦЕЙ БЛОК У ЗВІТ <===
fprintf('=====\\n');
fprintf('ОЦІНКА ТОЧНОСТІ МОДЕЛІ\\n');
fprintf('=====\\n');
fprintf('Сумарна квадратична похибка (SSE): %.6e\\n', error_squared);
fprintf('Середньоквадратична похибка (MSE): %.6e\\n', mse);
fprintf('Відносна похибка: %.4f%%\\n', relative_error);
fprintf('=====\\n\\n');

% ===> КІНЕЦЬ БЛОКУ <===

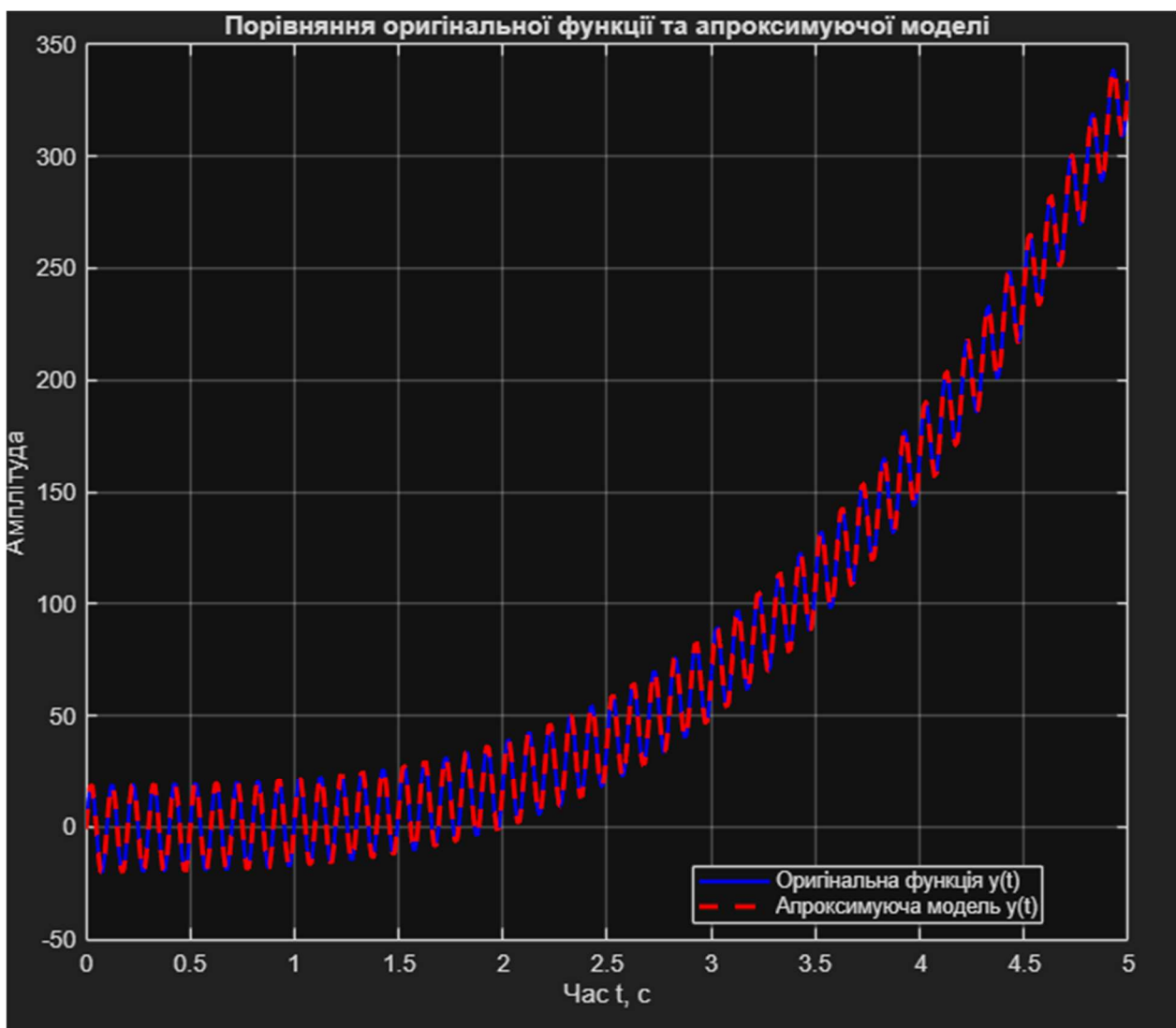
```

=====
ОЦІНКА ТОЧНОСТІ МОДЕЛІ

=====

Сумарна квадратична похибка (SSE): 7.946919e+06
Сумарна квадратична похибка (SSE): 7.045867e+06
Сумарна квадратична похибка (SSE): 6.557998e+06
Сумарна квадратична похибка (SSE): 6.556795e+06
Сумарна квадратична похибка (SSE): 7.041830e+06
Сумарна квадратична похибка (SSE): 7.939062e+06
Сумарна квадратична похибка (SSE): 8.974369e+06
Сумарна квадратична похибка (SSE): 9.682570e+06
Сумарна квадратична похибка (SSE): 9.680797e+06
Сумарна квадратична похибка (SSE): 8.969421e+06
Сумарна квадратична похибка (SSE): 7.931853e+06
Сумарна квадратична похибка (SSE): 7.033172e+06
Сумарна квадратична похибка (SSE): 6.546800e+06
Сумарна квадратична похибка (SSE): 6.545765e+06
Сумарна квадратична похибка (SSE): 7.029708e+06
І так далі...

Додатково: порівняння двох графіків:



Цілий код:

```
%% 1. ІНІЦІАЛІЗАЦІЯ ПАРАМЕТРІВ  
clear all;  
clc;
```

```

close all;

% Крок дискретизації та інтервал спостереження
dt = 0.01;           % Крок дискретизації
T = 5;               % Інтервал спостереження
t = 0:dt:T;          % Масив часових точок
N = length(t);       % Кількість точок

%% 2. ЗАВАНТАЖЕННЯ ЕКСПЕРИМЕНТАЛЬНИХ ДАНИХ

y = dlmread('f13.txt', '');

%% 3. ВІЗУАЛІЗАЦІЯ ОРИГІНАЛЬНОЇ ФУНКЦІЇ
figure;
plot(t, y, 'b', 'LineWidth', 1.5, 'DisplayName', 'y(t) - спостережувана функція');
grid on;
title('Оригінальна дискретна функція y(t)');
xlabel('Час t, с');
ylabel('Амплітуда y(t)');
legend('Location', 'best');

%% 4. ДИСКРЕТНЕ ПЕРЕТВОРЕННЯ ФУР'Є (вбудована функція)
fft_y_raw = fft(y);        % БЕЗ нормалізації (для пошуку піків)
fft_y = fft_y_raw / N;    % З нормалізацією (для відображення)

% Побудова амплітудного спектру (FFT)
figure;
freq_axis = (0:N-1) / T; % Частотна вісь в Гц
plot(freq_axis, abs(fft_y), 'b', 'LineWidth', 1.2);
grid on;
title('Амплітудний спектр |C_y(f)| (вбудована функція FFT)');
xlabel('Частота f, Гц');
ylabel('Амплітуда |C_y(f)|');

%% 5. ВЛАСНА РЕАЛІЗАЦІЯ ДИСКРЕТНОГО ПЕРЕТВОРЕННЯ ФУР'Є
% (Для перевірки коректності)
fft_manual = zeros(1, N);
for k = 1:N
    for m = 1:N
        fft_manual(k) = fft_manual(k) + y(m) * exp(-1i * 2 * pi * (k-1) * (m-1) / N);
    end
end
fft_manual = fft_manual / N; % НОРМАЛІЗАЦІЯ результату

% Побудова амплітудного спектру (власна реалізація)
figure;
plot(freq_axis, abs(fft_manual), 'r', 'LineWidth', 1.2);
grid on;
title('Амплітудний спектр |C_y(f)| (власна реалізація ДПФ)');
xlabel('Частота f, Гц');
ylabel('Амплітуда |C_y(f)|');

%% 6. АНАЛІЗ ЧАСТОТНОГО СПЕКТРУ
% Визначення частотних компонент
df = 1 / T; % Частотне розділення
f = 0:df:(N-1)*df; % Частотна вісь

% Беремо тільки першу половину спектру (оскільки він симетричний)
fft_half_raw = abs(fft_y_raw(1:round(N/2))); % Перша половина БЕЗ нормалізації
fft_half_norm = abs(fft_y(1:round(N/2)));    % Перша половина З нормалізацією

% Пошук піків (екстремумів) у спектрі

```

```

% 'MinPeakHeight' - фільтр, щоб відсіяти малий шум. Можливо, доведеться змінити це
% значення.
[maxima, locs] = findpeaks(fft_half_raw, 'MinPeakHeight', 10);

% Виведення спектру з позначеними піками (показуємо нормалізований)
figure;
plot(f(1:round(N/2)), fft_half_norm, 'b', 'LineWidth', 1.5);
grid on;
hold on;
% Для графіку використовуємо нормалізовані значення
plot(f(locs), maxima/N, 'ro', 'MarkerSize', 8, 'MarkerFaceColor', 'r', 'DisplayName',
'Піки');
hold off;
title('Перша половина амплітудного спектру з позначеними піками');
xlabel('Частота f, Гц');
ylabel('Амплітуда |C_y(f)|');
legend('Location', 'best');

fprintf('\n=====\\n');
fprintf('ЗНАЙДЕНІ ДОМІНУЮЧІ ЧАСТОТИ \\n');
fprintf('=====\\n');
fprintf('Кількість піків: %d\\n\\n', length(locs));
for i = 1:length(locs)
    fprintf('Пік %d: f = %.2f Гц, амплітуда = %.4f\\n', i, f(locs(i)), maxima(i)/N);
end
fprintf('=====\\n\\n');
% ==> КІНЕЦЬ БЛОКУ <==

%% 7. ФОРМУВАННЯ СИСТЕМИ ДЛЯ МЕТОДУ НАЙМЕНШИХ КВАДРАТІВ
% Побудова матриці синусоїdalьних компонентів на знайдених частотах
sinf_components = zeros(length(locs), N);
for i = 1:length(locs)
    sinf_components(i, :) = sin(2 * pi * f(locs(i)) * t);
end

% Формування матриці системи A = [t^3, t^2, t, sin(2πf_1t), ..., sin(2πf_nt), 1]
A = [t.^3; t.^2; t; sinf_components; ones(1, N)'];

% Розв'язання системи A*coeff = y методом найменших квадратів
coeff = A \ y';

% Виведення знайдених коефіцієнтів
fprintf('=====\\n');
fprintf('ЗНАЙДЕНІ КОЕФІЦІЕНТИ\\n');
fprintf('=====\\n');
fprintf('a1 (коef. при t^3):      %+ .6f\\n', coeff(1));
fprintf('a2 (коef. при t^2):      %+ .6f\\n', coeff(2));
fprintf('a3 (коef. при t):        %+ .6f\\n', coeff(3));
for i = 1:length(locs)
    fprintf('a%d (коef. при sin(2pi*%.2f*t)): %+ .6f\\n', 3+i, f(locs(i)), coeff(3+i));
end
fprintf('a%d (вільний член):      %+ .6f\\n', 3+length(locs)+1, coeff(end));
fprintf('=====\\n\\n');

%% 8. ПОБУДОВА АПРОКСИМУЮЧОЇ МОДЕЛІ
% Обчислення апроксимованих значень
y_model = coeff(1) * t.^3 + coeff(2) * t.^2 + coeff(3) * t;
% Додавання синусоїdalьних компонент
for i = 4:length(coeff)-1

```

```

y_model = y_model + coeff(i) * sin(2 * pi * f(locs(i-3)) * t);
end
y_model = y_model + coeff(end); % Додавання вільного члена

% 9. ВИВЕДЕННЯ АПРОКСИМУЮЧОЇ ФУНКЦІЇ
% Виведення апроксимуючої функції у символьному вигляді
fprintf('=====\\n');
fprintf('АПРОКСИМУЮЧА ФУНКЦІЯ\\n');
fprintf('=====\\n');
fprintf('y(t) = %.4f*t^3 + %.4f*t^2 + %.4f*t', coeff(1), coeff(2), coeff(3));
for i = 4:length(coeff)-1
    fprintf(' + %.4f*sin(2pi%.2f*t)', coeff(i), f(locs(i-3)));
end
fprintf(' + %.4f\\n', coeff(end));
fprintf('=====\\n\\n');

% ==> КІНЕЦЬ БЛОКУ <==

% 10. ВІЗУАЛІЗАЦІЯ АПРОКСИМУЮЧОЇ МОДЕЛІ
figure;
plot(t, y_model, 'r', 'LineWidth', 2, 'DisplayName', 'y(t) - апроксимація');
grid on;
title('Апроксимуюча функція y(t)');
xlabel('Час t, с');
ylabel('Амплітуда y(t)');
legend('Location', 'best');

% 11. ОЦІНКА ЯКОСТІ АПРОКСИМАЦІЇ
% Квадратична похибка
error_squared = sum((y_model' - y).^2);
% Середньоквадратична похибка (MSE)
mse = error_squared / N;
% Відносна похибка
relative_error = sqrt(error_squared / sum(y.^2)) * 100;

% ==> СКОПІЮЙТЕ ЦЕЙ БЛОК У ЗВІТ <==
fprintf('=====\\n');
fprintf('ОЦІНКА ТОЧНОСТІ МОДЕЛІ\\n');
fprintf('=====\\n');
fprintf('Сумарна квадратична похибка (SSE): %.6e\\n', error_squared);
fprintf('Середньоквадратична похибка (MSE): %.6e\\n', mse);
fprintf('Відносна похибка: %.4f%%\\n', relative_error);
fprintf('=====\\n\\n');

% ==> КІНЕЦЬ БЛОКУ <==

% 12. ПОРІВНЯННЯ ОРИГІНАЛУ ТА МОДЕЛІ
% Графік порівняння оригіналу та моделі
figure;
plot(t, y, 'b', 'LineWidth', 1.5, 'DisplayName', 'Оригінальна функція y(t)');
hold on;
plot(t, y_model, 'r--', 'LineWidth', 2, 'DisplayName', 'Апроксимуюча модель y(t)');
hold off;
grid on;
title('Порівняння оригінальної функції та апроксимуючої моделі');
xlabel('Час t, с');
ylabel('Амплітуда');
legend('Location', 'best');

```